

Etiqueta RFID miniaturizada de baixa potência para identificação de objetos

Candidato: Juan Sebastian Moya Baquero

Orientador: Fernando Rangel de Sousa

UFSC-PPGEEL-Laboratório de pesquisas em RadioFrequência (LRF)

14 de outubro de 2016



Agenda

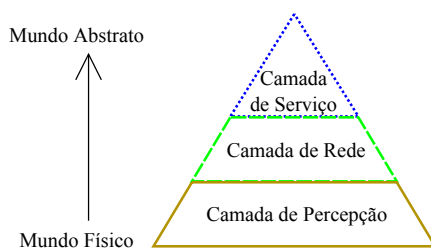
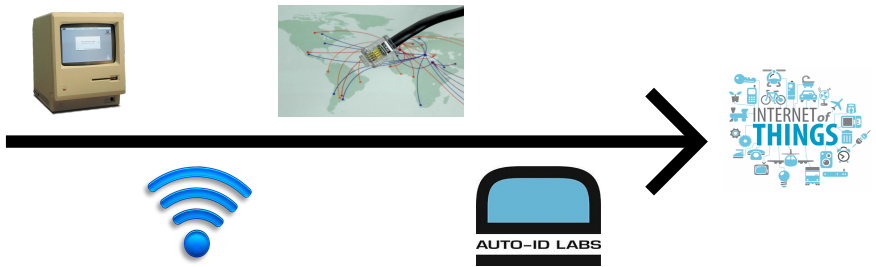
- 1 Introdução
- 2 Definição do sistema proposto
- 3 Projeto da etiqueta (simulações)
- 4 Projeto do leitor de memória ROM (simulações)
- 5 Resultados experimentais
- 6 Conclusões
- 7 Propostas de trabalhos futuros



Agenda - Introdução

- 1 Introdução
- 2 Definição do sistema proposto
- 3 Projeto da etiqueta (simulações)
- 4 Projeto do leitor de memória ROM (simulações)
- 5 Resultados experimentais
- 6 Conclusões
- 7 Propostas de trabalhos futuros

A Internet dos Objetos



Tecnologias Auto-ID

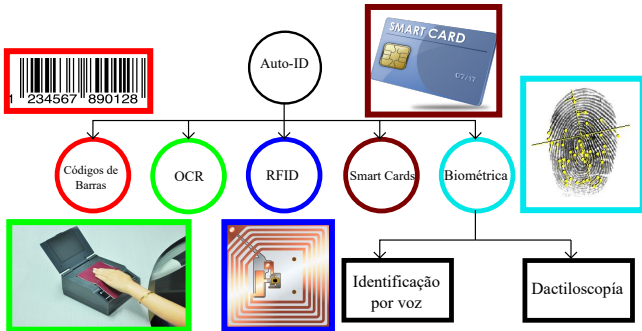


Tabela comparativa entre as diferentes tecnologias das Auto-ID.

	Códigos de barras	OCR	Smart Cards	RFID	Biométrica
Portabilidade	✓ ✓ ✓	✓ ✓ ✓	✓	✓ ✓ ✓	✓ ✓ ✓
Capacidade de memória	✓	✓ ✓ ✓	✓ ✓ ✓	✓ ✓ ✓	✓ ✓ ✓
Preço	\$	\$\$\$	\$\$\$	\$	\$\$\$
Reprogramação	✗	✗	✗	✗	✗
Contato	✗	✗	✗	✗	□

✓✓✓: Alto(a); ✓✓: Médio(a); ✓: Baixo(a); ✗: Sim; ✗: Não; □: Em alguns casos; \$\$\$: Preço Alto; \$: Preço acessível.



Produtos atuais de RFID

125 kHz

<http://gaorfid.com/>

13,56 MHz

<http://gaorfid.com/>

860-960 MHz

<http://gaorfid.com/>

- Identificação de pessoas.
- Controle de acesso.
- Realizar pagamentos.

- Ingressos.
- Assistência médica.
- Rastreamento de pessoas.

- Controle de acesso.
- Identificação de pessoas.

M. Weiser:“As tecnologias mais relevantes são aquelas que são imperceptíveis”(Tradução livre) [1]

[1] M. Weiser, “The Computer for the 21st Century”.

Motivações



- Desenvolver um dispositivo RFID miniaturizado para rastreamento de objetos em tempo real.
- Incluir o dispositivo na Camada de Percepção da IoT para monitoramento constante do objeto.



Agenda - Definição do sistema proposto

- 1 Introdução
- 2 Definição do sistema proposto
- 3 Projeto da etiqueta (simulações)
- 4 Projeto do leitor de memória ROM (simulações)
- 5 Resultados experimentais
- 6 Conclusões
- 7 Propostas de trabalhos futuros

Objetivo Geral

- Desenvolver um sistema RFID completo e miniaturizado na faixa dos GHz voltado para uma etiqueta integrada de baixa potência para identificação de objetos.

Estado da arte

Comparação dos resultados obtidos com o estado da arte escolhido.

Referência	[2]*	[3]	[4]	[5]	[6]
Tecnologia [nm]	CMOS 350 nm	CMOS 1,2 μ m	CMOS 180 nm	CMOS 180 nm	CMOS 130 nm
Potência média da etiqueta	360 μ W	-	720 μ W	6 μ W	1 mW
Potência emitida pelo leitor	-	-	250 mW	160 mW	100 mW
Tensão de alimentação [V]	3	0,7	1,8	1,2	1,2
Frequência do sinal da portadora [MHz]	915	13,56	13,56	900	160
Frequência do sinal modulante [MHz]	0,5	0,212	-	0,2	-
Área total da etiqueta [$m \times m$]	$0,38 \times 0,38$	7×7	1,5×1,5	1,4×1,4	2×2,18
Fator de qualidade do indutor integrado	6,2	1,2	0,89	-	12,3

*Possui memória ROM integrada.

[2]: G. Haobijam et al. *RFID Circuit Design with Optimized CMOS Inductor for Monitoring Biomedical Signals*. 15th International Conference on Advanced Computing and Communications, 2007.*

[3]: B. Kim et al. *13.56 MHz-RFID Biosensor with On-chip Spiral Inductor*. International Conference on Enabling Science and Nanotechnology (ESciNano), 2010.

[4]: A. Baldi et al. *Powering of single-chip fully integrated RFID wireless sensors*. 37th Annual Conference on IEEE Industrial Electronics Society (IECON), 2011.

[5]: M. Nazari et al. *An Implantable Continuous Glucose Monitoring Microsystem in 0.18 μ m CMOS*. Symposium on VLSI Circuits Digest of Technical Papers, 2014.

[6]: M. Zargham and P. G. Gulak *Fully Integrated On-Chip Coil in 0.13 μ m CMOS for Wireless Power Transfer Through Biological Media*. IEEE Transactions on biomedical circuits and systems, vol. 9, no. 2, april, 2015.



Objetivos Específicos

- Minimizar o consumo de potência de cada um dos blocos e sub-blocos do sistema RFID devido aos baixos níveis de potência utilizados.
- Definir e implementar os testes adequados no domínio da frequência para caracterizar a etiqueta.
- Definir e implementar os testes adequados no domínio do tempo para extrair a informação da etiqueta.



Objetivos Específicos

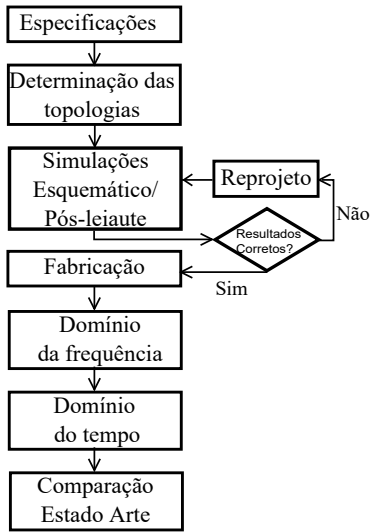
- Minimizar o consumo de potência de cada um dos blocos e sub-blocos do sistema RFID devido aos baixos níveis de potência utilizados.
- Definir e implementar os testes adequados no domínio da frequência para caracterizar a etiqueta.
- Definir e implementar os testes adequados no domínio do tempo para extrair a informação da etiqueta.



Objetivos Específicos

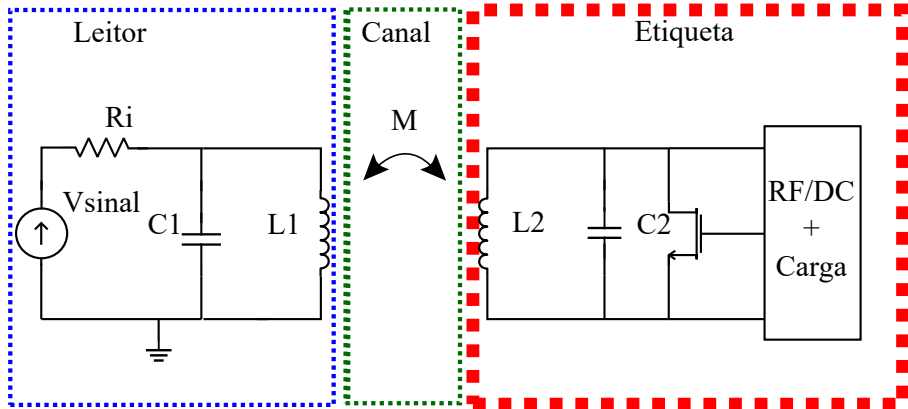
- Minimizar o consumo de potência de cada um dos blocos e sub-blocos do sistema RFID devido aos baixos níveis de potência utilizados.
- Definir e implementar os testes adequados no domínio da frequência para caracterizar a etiqueta.
- Definir e implementar os testes adequados no domínio do tempo para extrair a informação da etiqueta.

Fluxograma do projeto



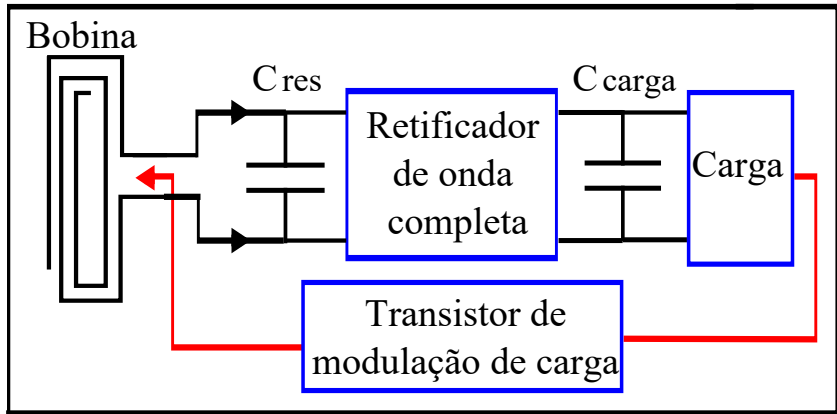
Definição dos blocos do sistema

Presente trabalho



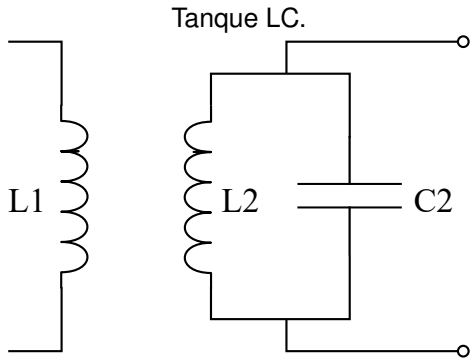
Etiqueta do sistema

Diagrama de sub-blocos da etiqueta.



Etiqueta do sistema - Bobina - C_{res}

- Acoplamento indutivo.
- Tanque LC. $\Im(Z_L) = -\Im(Z_c)$. $f = \frac{1}{2\pi\sqrt{LC}}$.
⇒ Máximo valor de tensão induzido no tanque.



Etiqueta do sistema - Retificador de onda - C_{carga}

- Retificar sinal na entrada.

Eficiência de Conversão de Potência: $PCE = \frac{P_{carga}}{P_{entrada}}$.

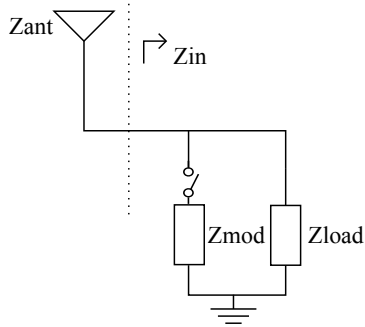
- Filtrar o sinal de saída do retificador para diminuir a tensão de ondulação.

Tensão de ondulação $C = \frac{I_{carga}}{2f\Delta V}$

Etiqueta do sistema - Carga - Transistor de modulação

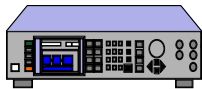
- Carga corresponde a um leitor de memória ROM: Memória ROM, Registrador de deslocamento *Parallel-Input Serial-Output* (PISO), Oscilador, Divisor de frequência e Decodificador de endereços.
- Transistor de modulação. $\Gamma = \frac{Z_{in} - Z_{ant}^*}{Z_{in} + Z_{ant}}$.

Sistema com modulação de carga.

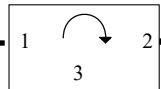


Leitor do sistema

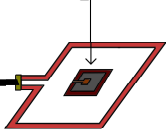
Gerador de sinais



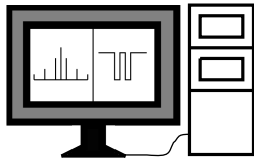
Circulador



Etiqueta



Bobina do leitor



Informação
demodulada



USRP B210

Restrições do sistema

Consumo de potência nos dispositivos CMOS

- Potência estática.
- Potência dinâmica.

Valores médios da tensão de limiar dos transistores da tecnologia

- Transistor Pmos: $|Vt_0| = 388 \text{ mV}$.
- Transistor Nmos: $Vt_0 = 322 \text{ mV}$.

Agenda - Projeto da etiqueta (simulações)

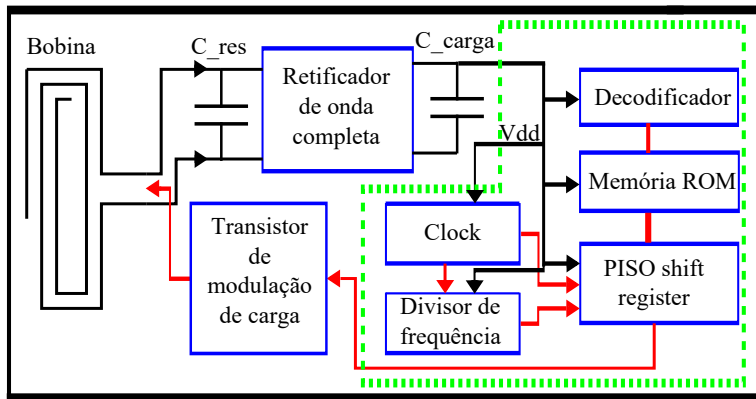
- 1 Introdução
- 2 Definição do sistema proposto
- 3 Projeto da etiqueta (simulações) **(selected)**
- 4 Projeto do leitor de memória ROM (simulações)
- 5 Resultados experimentais
- 6 Conclusões
- 7 Propostas de trabalhos futuros



Especificações da etiqueta (GF180nm)

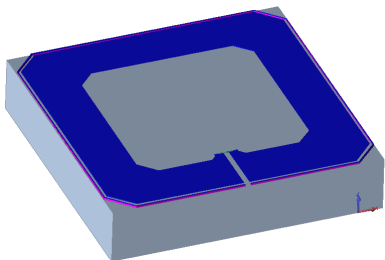
Especificação	Valor desejado
Tensão de alimentação da carga	1 V
Potência média máxima na carga (corners)	3 μ W
Potência média nominal na carga	1 μ W
Frequência do sinal de RF	1,04 GHz
Frequência do sinal modulante	1 MHz

Etiqueta proposta - Diagrama de blocos geral

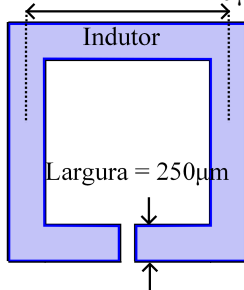


Indutor projetado para 1,04 GHz (WPT). (Trabalho do Fabian Cabrera no LRF)

Indutor na ferramenta EMPro.



Dimensões do indutor.
Diâmetro médio = $1210\text{ }\mu\text{m}$

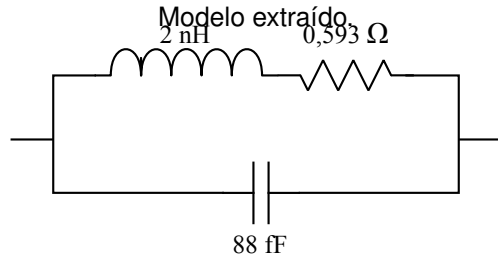
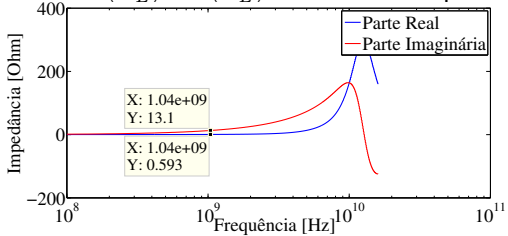


F.L. Cabrera and F.R.de Sousa *Extending the Inductor Operating Frequency for Optimally-coupled Wireless Power Transfer Systems*. International Microwave and Optical Conference (IMOC 2015), Porto de Galinhas. 2015.

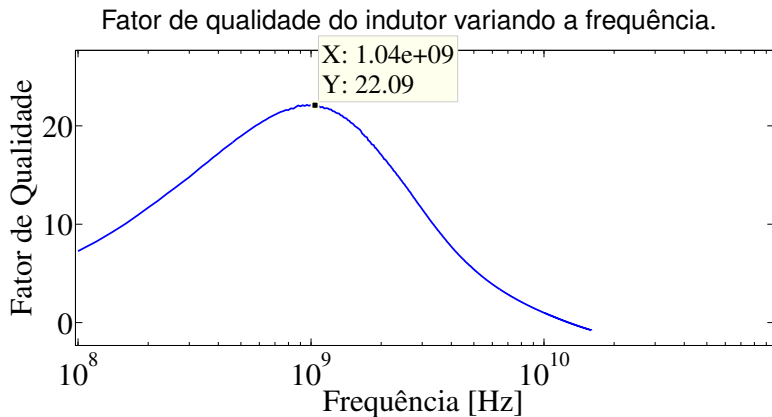
F.L. Cabrera and F.R.de Sousa *Contactless Characterization of a CMOS Integrated LC Resonator for Wireless Power Transferring*. IEEE Microwave and Wireless Components Letters, 2015.

Indutor projetado para 1,04 GHz - Modelo

Partes $\Re(Z_L)$ e $\Im(Z_L)$ variando a frequência.



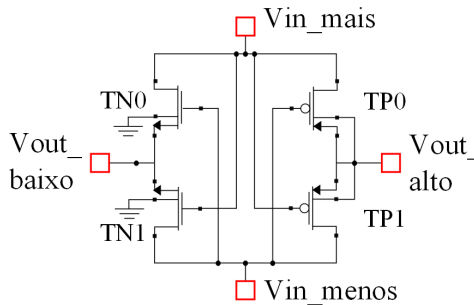
Indutor projetado para 1,04 GHz - Fator de Qualidade do indutor



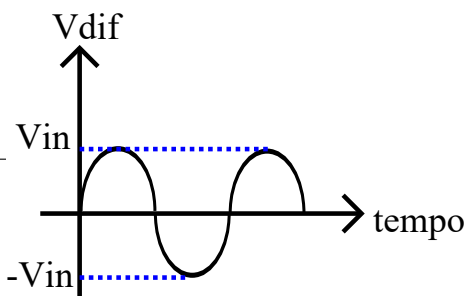
- Q = 22,09 @ 1,04 GHz.

Retificador de tensão - Célula unitária ($P=-6$ dBm) RF

Célula unitária.

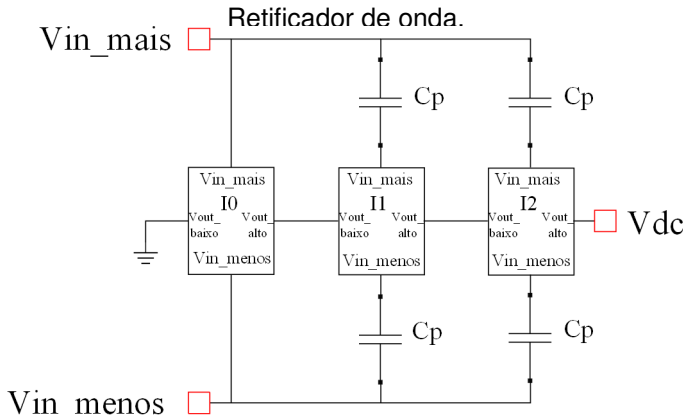


Tensão diferencial na entrada.



- $V_{dc} = (2V_{in} - V_{dropPmos} - V_{dropNmos})$.

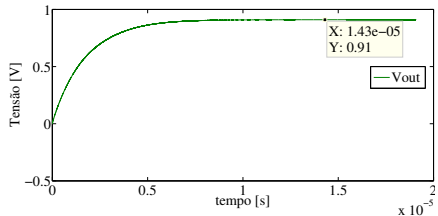
Retificador de tensão cascateverado



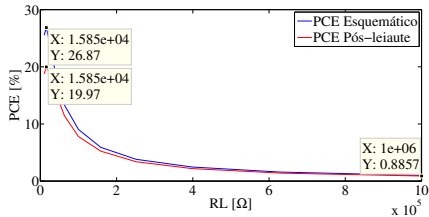
- $V_{dc} = N(2V_{in} - V_{dropPmos} - V_{dropNmos}).$

Retificador de tensão - Simulações

Simulação transiente pós-leiaute.



PCE variando o valor da carga.



- $V_{DC} = 0,91V$

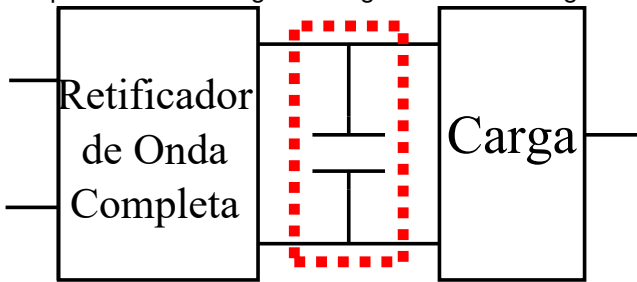
- $PCE = \frac{P_{carga}}{P_{entrada}}$.

Valores simulações PCE.

Figura de mérito	Valor esquemático	Valor pós-leiaute
PCE variando RL , (pdBm=-5 dBm e Wp=Wn= 48 μm) [%]	26,87	19,97

Capacitância da carga

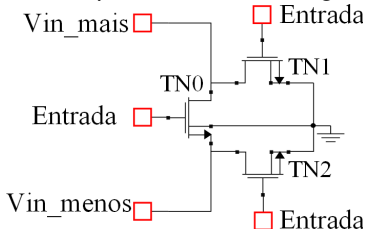
Capacitância da carga no diagrama de blocos geral.



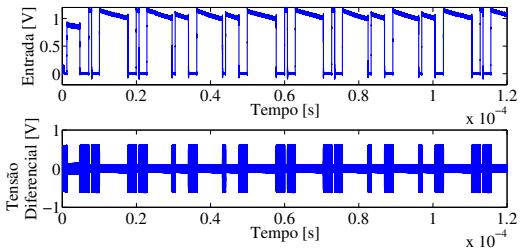
- Corrente nominal (corners): $12 \mu A$ (@ $27^\circ C$).
- Tensão de ondulação: $C = \frac{I_{carga}}{2f\Delta V} = 60 pF$

Modulação da carga

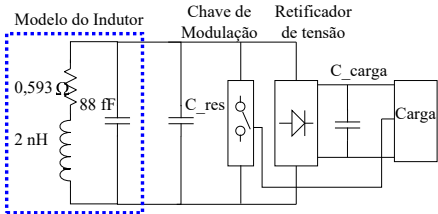
Chave para modular a carga.



Tensões de entrada e diferencial.

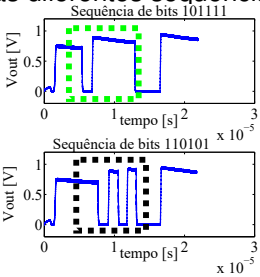
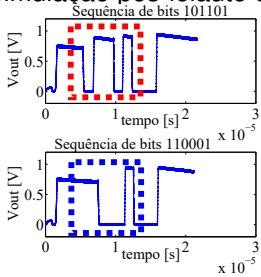


Etiqueta integrada



Valor A1	Valor A0	Sequência de Bits
0	0	110101
0	1	110001
1	0	101111
1	1	101101

Simulação pós-leiaute das diferentes sequências.





Agenda - Projeto do leitor de memória ROM (simulações)

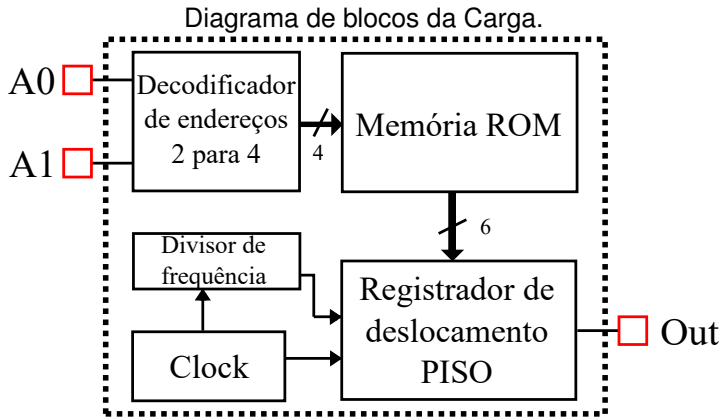
- 1 Introdução
- 2 Definição do sistema proposto
- 3 Projeto da etiqueta (simulações)
- 4 Projeto do leitor de memória ROM (simulações)
- 5 Resultados experimentais
- 6 Conclusões
- 7 Propostas de trabalhos futuros



Especificações da carga (GF180nm)

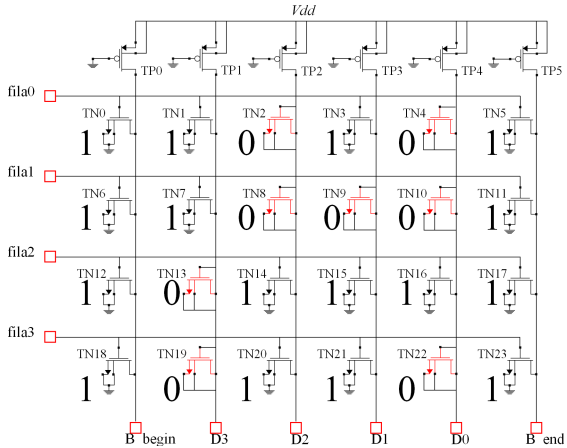
Especificação	Valor desejado
Tensão de alimentação da carga	1 V
Potência média máxima na carga (corners)	3 μ W
Potência média nominal na carga	1 μ W
Frequência do sinal modulante	1 MHz

Carga do sistema



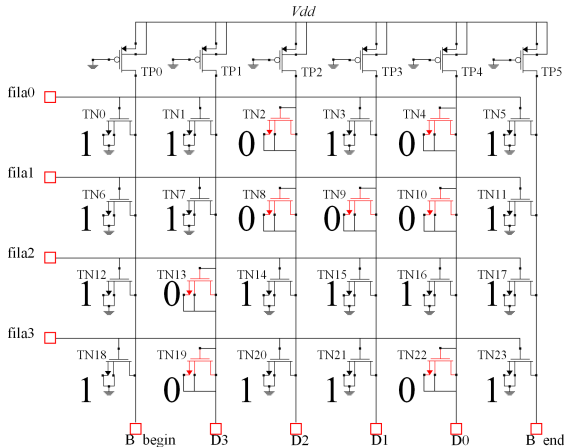
Memória ROM - Esquemático

- MOS NOR ROM.
- Transistores Pmos (*weak-pull*).
- Transistores dummy (vermelho).



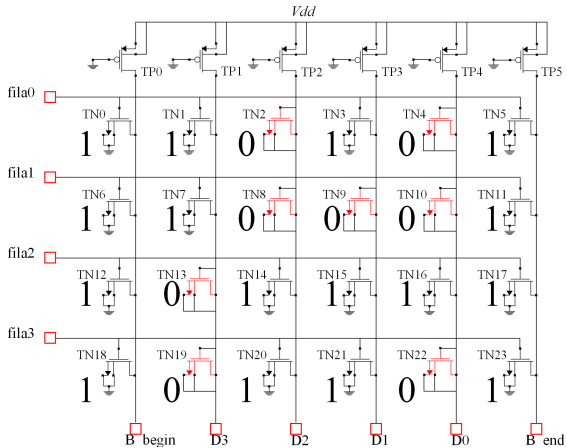
Memória ROM - Esquemático

- MOS NOR ROM.
- Transistores Pmos (*weak-pull*).
- Transistores dummy (vermelho).

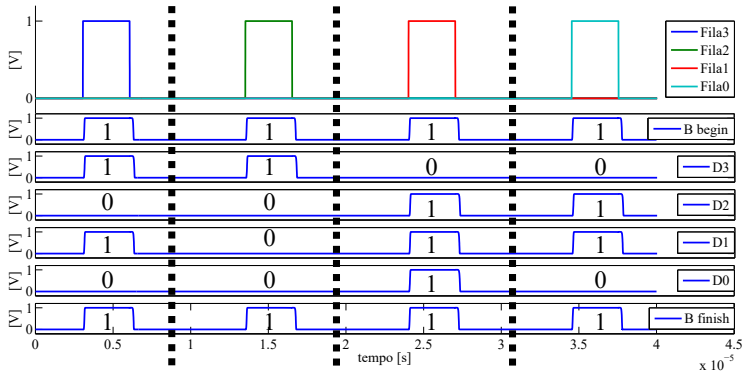


Memória ROM - Esquemático

- MOS NOR ROM.
- Transistores Pmos (*weak-pull*).
- Transistores dummy (vermelho).



Memória ROM - Simulações

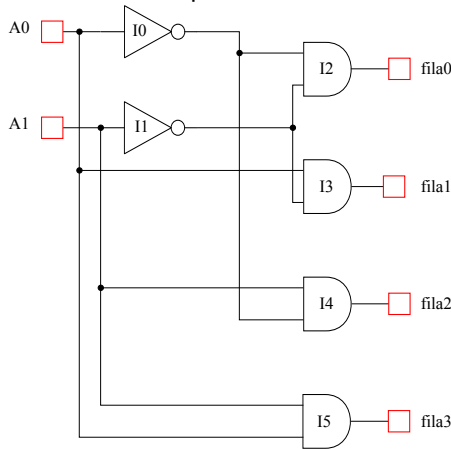


Resultados dos parâmetros da memória ROM.

Parâmetro	Valor obtido do esquemático	Valor obtido da extração das parasitas
Potência média (estática) [nW]	589,6	498,6
Potência de pico (dinâmica) [nW]	590,4	1655
Tempo de propagação de baixo para alto [ns]	71,2	92,14

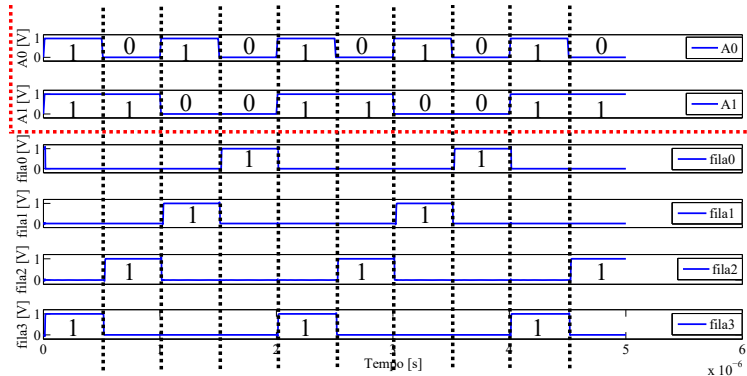
Decodificador de endereços de 2 para 4

Esquemático.



Valor A1	Valor A0	Sequência
0	0	110101
0	1	110001
1	0	101111
1	1	101101

Decodificador de endereços de 2 para 4

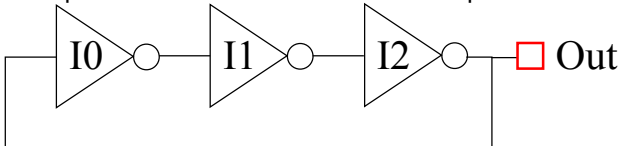


Resultados dos parâmetros do decodificador de endereços.

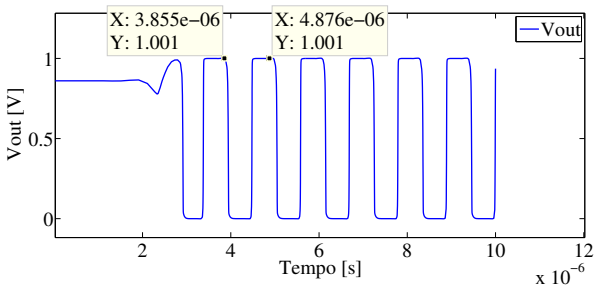
Parâmetro	Valor obtido do esquemático	Valor obtido com extração das parasitas
Potência média (estática) [nW]	0,211	0,3043
Potência de pico (dinâmica) [nW]	3,59	3,91
Tempo de atraso [ns]	49,4	52,7

Oscilador com frequência de 1 MHz (Clock)

Esquemático do oscilador controlado por tensão.

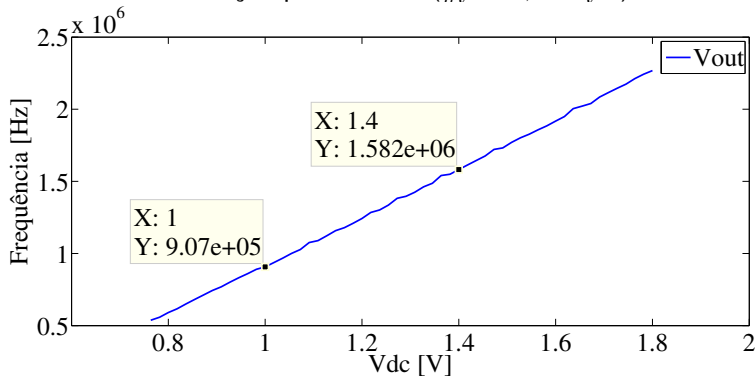


Simulação transiente ($f_{osc} = 980\text{kHz}$).



Oscilador com frequência de 1MHz - Simulações

Simulação paramétrica ($\frac{dF}{dV} = 1,69 \frac{MHz}{V}$).

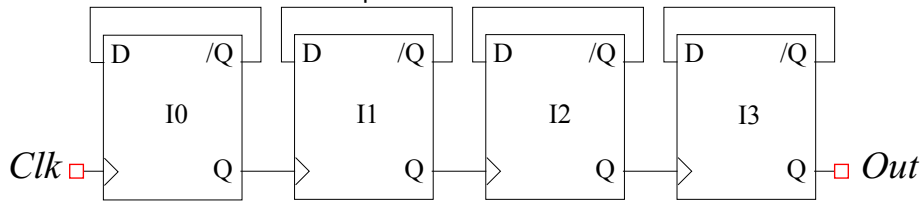


Parâmetros do oscilador em anel.

Parâmetro	Valor obtido do esquemático	Valor obtido com extração das estruturas parasitas
Potência média (estática) [nW]	153,1	244,4
Potência de pico (dinâmica) [nW]	304	280,5
Variação da frequência com a tensão	$1,86 \frac{MHz}{V}$	$1,69 \frac{MHz}{V}$

Divisor de frequência

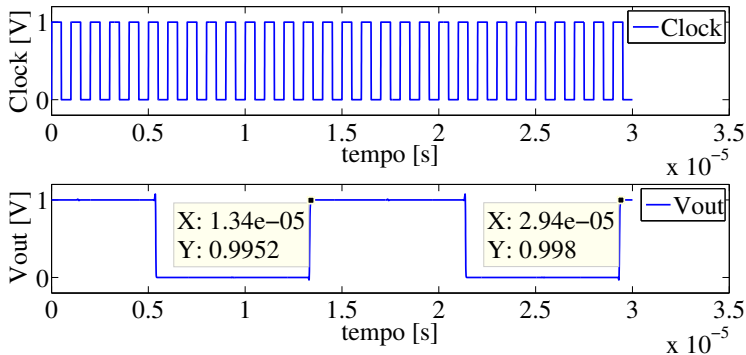
Esquemático do Divisor.



- $f_{osc} = \frac{f_{clock}}{2^N}$

Divisor de frequência - Simulações

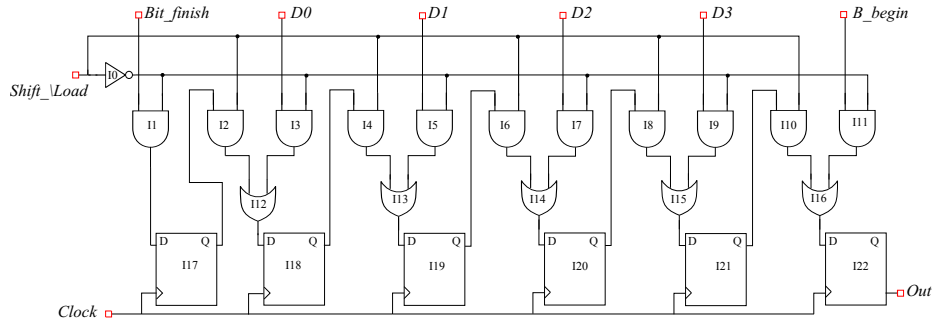
Simulação transitória $f_{osc} = 62.5\text{kHz}$.



Parâmetros do divisor de frequência.

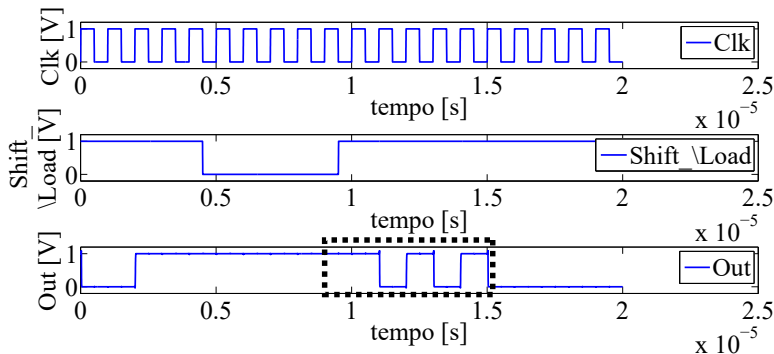
Parâmetro	Valor obtido do esquemático	Valor obtido com extração das parasitas
Potência média (estática) [μW]	0,17	0,24
Potência de pico (dinâmica) [μW]	3	1,6
Atraso de propagação [μs]	10,2	12,3

Registrador de deslocamento PISO



Registrador de deslocamento PISO - Simulações

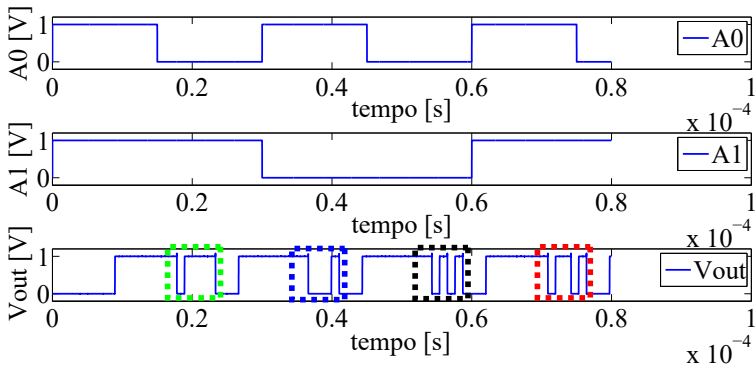
Sequência de bits 110101.



Parâmetros do Registrador de deslocamento PISO.

Parâmetro	Valor obtido do esquemático	Valor obtido com extração das parasitas
Potência média (estática) [μ W]	0,18	0,3
Potência de pico (dinâmica) [μ W]	9,5	10,7
Atraso de propagação [ns]	12,32	24,63

Carga do sistema - Simulação



Parâmetros da carga.

Parâmetro	Valor obtido do esquemático	Valor obtido com extração das parasitas
Potência média (estática) [μW]	1,2	1,37
Potência de pico (dinâmica) [μW]	11,37	12
Tempo de atraso [μs]	12,43	12,78

Verificação dos Corners da Carga- PVT

Corners

Corner	C0	C1	C2	C3
Processo	ff	ss	fs	sf
Vdd [V]	0,9 e 1,1	0,9 e 1,1	0,9 e 1,1	0,9 e 1,1
Temperatura [°C]	-40 e 80	-40 e 80	-40 e 80	-40 e 80

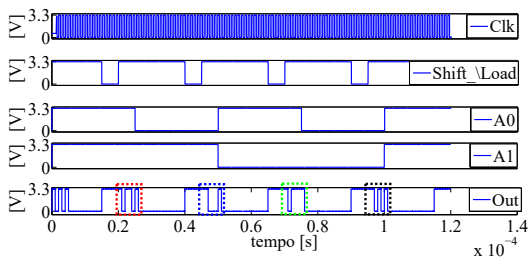
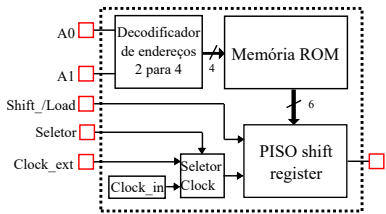
Corners das potências estática e dinâmica dos sub-blocos da carga para a entrada A0=1 V e A1=1 V.

Sub-bloco	Potência Estática [μW]			Potência Dinâmica [μW]			
	Corner	Nominal	Mínimo	Máximo	Nominal	Mínimo	Máximo
Decodificador de endereços de 2 para 4		$2,63 \times 10^{-3}$	$1,58 \times 10^{-3}$	$6,12 \times 10^{-3}$	4,8	2,91	10,57
Memória ROM		0,47	0,23	1,02	0,6	0,3	1,29
Oscilador em anel		0,15	$12,86 \times 10^{-3}$	0,33	0,3	$14,51 \times 10^{-3}$	0,71
Registrador de deslocamento PISO		0,169	$0,26 \times 10^{-3}$	0,4	10,33	0,162	23,900
Divisor de frequência		0,16	$0,1 \times 10^{-3}$	0,34	1,68	$43,68 \times 10^{-3}$	6,54
Total		1,23	0,31	2,66	12,49	3,37	28,9

Agenda - Resultados dos circuitos projetados

- 1 Introdução
- 2 Definição do sistema proposto
- 3 Projeto da etiqueta (simulações)
- 4 Projeto do leitor de memória ROM (simulações)
- 5 **Resultados experimentais**
- 6 Conclusões
- 7 Propostas de trabalhos futuros

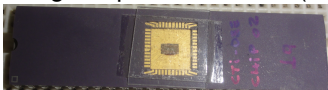
Protótipo da carga na tecnologia XFAB600nm - Simulações



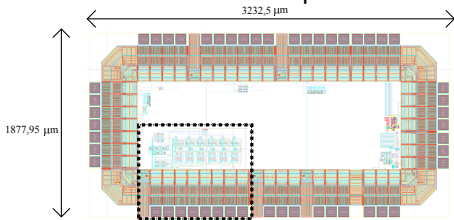
Protótipo na tecnologia XFAB600nm - Amostra e Leiaute



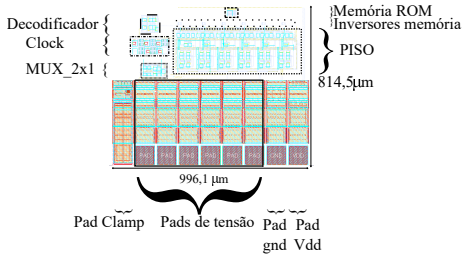
Chip entregado pelo fabricante (DIP 40).



Leiaute do chip.

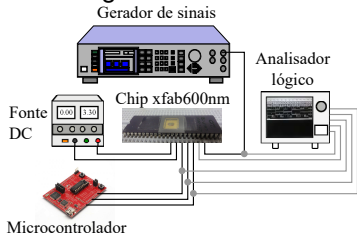


Leiaute do leitor da memória.

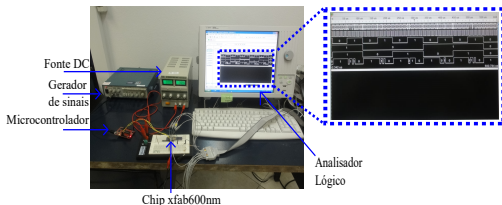


Protótipo na tecnologia Xfab600nm - Analisador Lógico

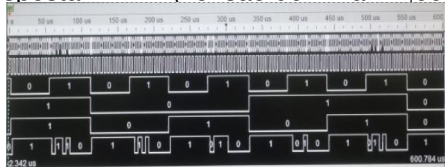
Diagrama de blocos.



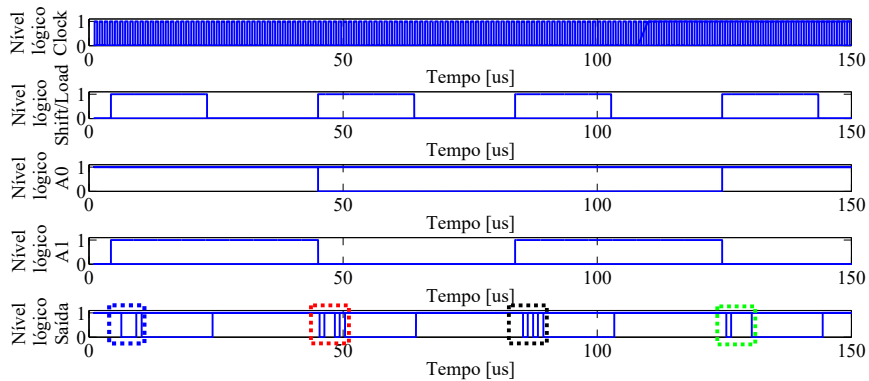
Setup experimental.



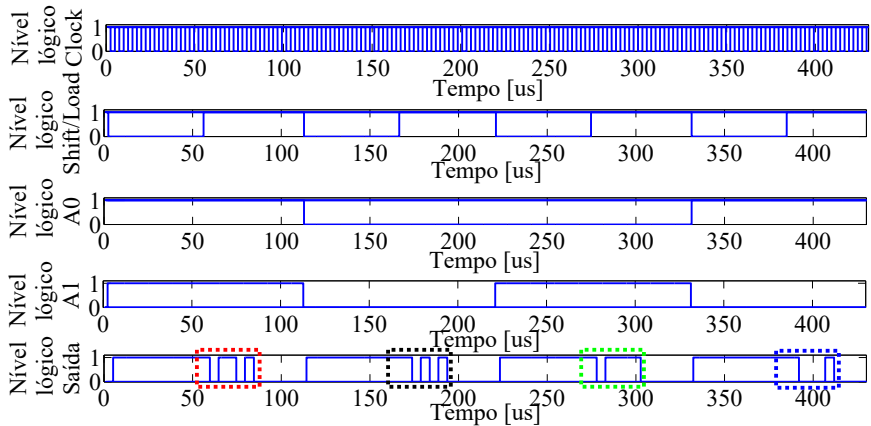
Resposta 1 MHz (Tensão de limiar: 1,65 V).



Protótipo na tecnologia XFAB600nm - Analisador Lógico - Resultados Clk = 1 MHz.



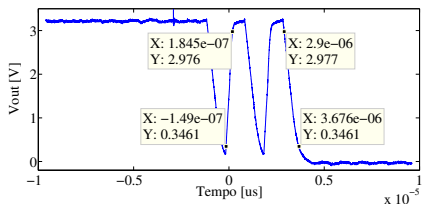
Protótipo na tecnologia XFAB600nm - Analisador Lógico - Resultados Clk = 200 kHz.



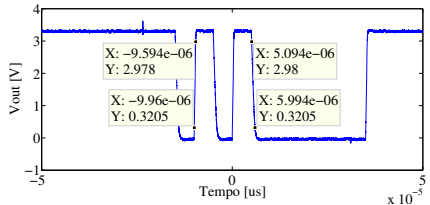
Protótipo na tecnologia XFAB600nm-Osciloscópio



Medida Clk=1 MHz.



Medida Clk=200 kHz.



$$t_r = 333,5 \text{ ns}; t_f = 776 \text{ ns}$$

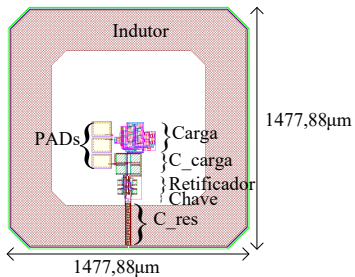
$$t_r = 366 \text{ ns}; t_f = 900 \text{ ns}$$

Protótipo na tecnologia GF180nm

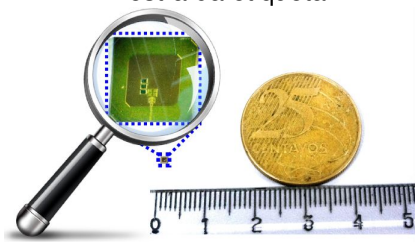


- 40 amostras recebidas.
- Pós-processo do corte do seal ring (7 amostras).

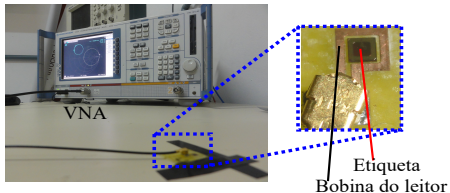
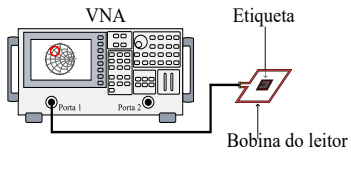
Leiaute da etiqueta.



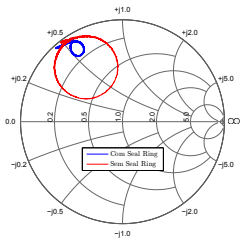
Amostra da etiqueta.



Protótipo na tecnologia GF180nm- Metodologia



Carta de Smith.

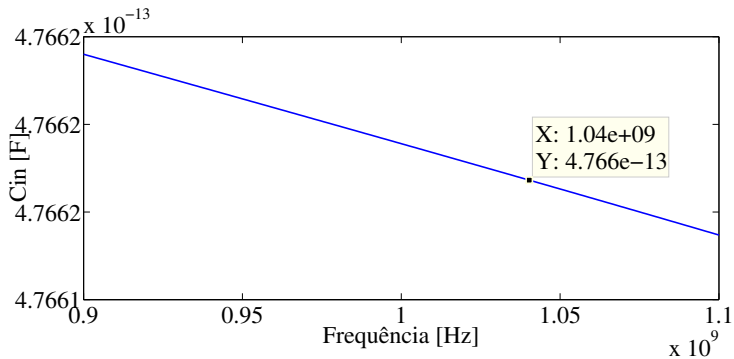


Valores médios dos parâmetros.

Parâmetro	Valor médio
Frequência de ressonância [MHz]	983,79
Fator de qualidade do indutor	19,13
Fator de acoplamento indutivo	0,2488

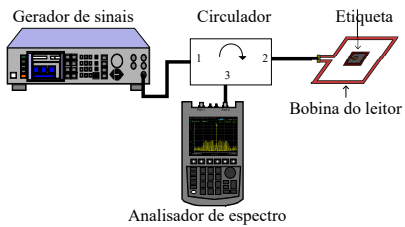
Metodologia em: **F.L. Cabrera and F.R. de Sousa** *Contactless Characterization of a CMOS Integrated LC Resonator for Wireless Power Transferring*. IEEE Microwave and Wireless Components Letters, 2015.

Protótipo na tecnologia GF180m - Capacitância de entrada retificador

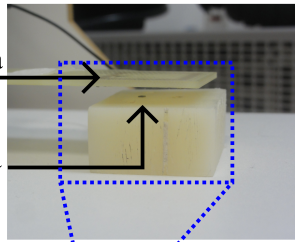


- $C_{in}@1,04\text{ GHz} = 477\text{ fF}.$
- $C_{Total} = 11,7\text{ pF} + 477\text{ fF} = 12,17\text{ pF} \Rightarrow f_{osc} = 1,02\text{ GHz}$

Protótipo na tecnologia GF180nm - Setup da resposta em frequência



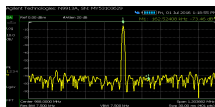
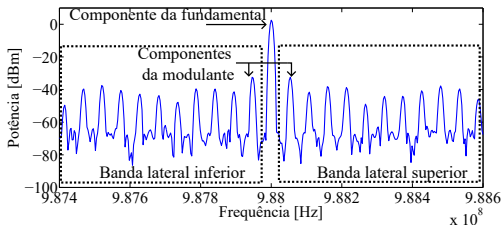
Bobina
leitor
Etiqueta



Protótipo na tecnologia GF180nm - Resultados da RF

Resposta para diferentes potências.

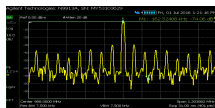
Resposta para $P = 18 \text{ dBm}$.



$P = 7 \text{ dBm}$

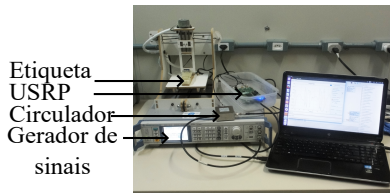
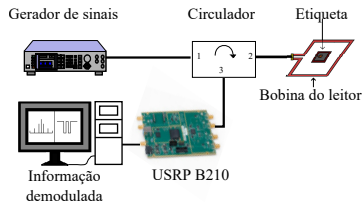


$P = 14 \text{ dBm}$

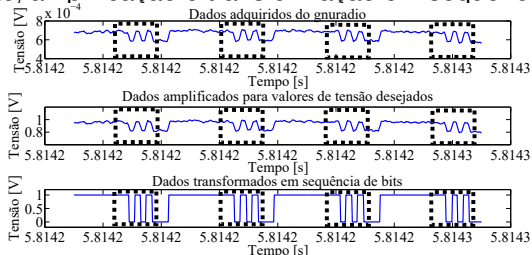


$P = 18 \text{ dBm}$

Resposta transiente -Setup e processamento dos dados



Aquisição, amplificação e transformação em sequência de bits



Resultados do projeto vs Estado da arte

Comparação dos resultados obtidos com o estado da arte escolhido.

Referência	[2]*	[3]	[4]	[5]	[6]	Este trabalho*
Tecnologia [nm]	CMOS 350 nm	CMOS 1,2 μ m	CMOS 180 nm	CMOS 180 nm	CMOS 130 nm	CMOS 180 nm
Potência média da etiqueta	360 μ W	-	720 μ W	6 μ W	1 mW	1 μ W
Potência emitida pelo leitor	-	-	250 mW	160 mW	100 mW	40 mW
Tensão de alimentação [V]	3	0,7	1,8	1,2	1,2	1
Frequência do sinal da portadora [MHz]	915	13,56	13,56	900	160	1040
Frequência do sinal modulante [MHz]	0,5	0,212	-	0,2	-	1
Área total da etiqueta [$m \times m$]	$0,38 \times 0,38$	7×7	$1,5 \times 1,5$	$1,4 \times 1,4$	$2 \times 2,18$	$1,5 \times 1,5$
Fator de qualidade do indutor integrado	6,2	1,2	0,89	-	12,3	19,13

*Possui memória ROM integrada.

[2]: G. Haobijam et al. *RFID Circuit Design with Optimized CMOS Inductor for Monitoring Biomedical Signals*. 15th International Conference on Advanced Computing and Communications, 2007.*

[3]: B. Kim et al. *13.56 MHz-RFID Biosensor with On-chip Spiral Inductor*. International Conference on Enabling Science and Nanotechnology (ESciNano), 2010.

[4]: A. Baldi et al. *Powering of single-chip fully integrated RFID wireless sensors*. 37th Annual Conference on IEEE Industrial Electronics Society (IECON), 2011.

[5]: M. Nazari et al. *An Implantable Continuous Glucose Monitoring Microsystem in 0.18 μ m CMOS*. Symposium on VLSI Circuits Digest of Technical Papers, 2014.

[6]: M. Zargham and P. G. Gulak *Fully Integrated On-Chip Coil in 0.13 μ m CMOS for Wireless Power Transfer Through Biological Media*. IEEE Transactions on biomedical circuits and systems, vol. 9, no. 2, april, 2015.



Agenda - Conclusões

- 1 Introdução
- 2 Definição do sistema proposto
- 3 Projeto da etiqueta (simulações)
- 4 Projeto do leitor de memória ROM (simulações)
- 5 Resultados experimentais
- 6 **Conclusões**
- 7 Propostas de trabalhos futuros



Conclusões

- Um dispositivo miniaturizado completamente integrado com características de um sistema RFID para identificação de objetos foi apresentado incluindo as diferentes etapas do fluxo de projeto de circuitos integrados.
- Todos os blocos da Carga foram otimizados para atingir as especificações do consumo de potência (estática e dinâmica).
- Realizou-se uma caracterização da etiqueta no domínio da frequência, comprovando o correto funcionamento da etiqueta.



Conclusões

- Um dispositivo miniaturizado completamente integrado com características de um sistema RFID para identificação de objetos foi apresentado incluindo as diferentes etapas do fluxo de projeto de circuitos integrados.
- Todos os blocos da Carga foram otimizados para atingir as especificações do consumo de potência (estática e dinâmica).
- Realizou-se uma caracterização da etiqueta no domínio da frequência, comprovando o correto funcionamento da etiqueta.



Conclusões

- Um dispositivo miniaturizado completamente integrado com características de um sistema RFID para identificação de objetos foi apresentado incluindo as diferentes etapas do fluxo de projeto de circuitos integrados.
- Todos os blocos da Carga foram otimizados para atingir as especificações do consumo de potência (estática e dinâmica).
- Realizou-se uma caracterização da etiqueta no domínio da frequência, comprovando o correto funcionamento da etiqueta.



Conclusões-2

- Realizou-se a extração da informação no domínio do tempo utilizando uma plataforma de radio definido por software, substituindo os equipamentos de medição de alto custo e, assim, validando o funcionamento do sistema completo.
- Comparando com o Estado da Arte, houve uma diminuição no consumo de potência, nas dimensões da etiqueta e um aumento do fator de qualidade do indutor da etiqueta (realizado no trabalho de doutorado do Fabian Cabrera).

Conclusões-2

- Realizou-se a extração da informação no domínio do tempo utilizando uma plataforma de radio definido por software, substituindo os equipamentos de medição de alto custo e, assim, validando o funcionamento do sistema completo.
- Comparando com o Estado da Arte, houve uma diminuição no consumo de potência, nas dimensões da etiqueta e um aumento do fator de qualidade do indutor da etiqueta (realizado no trabalho de doutorado do Fabian Cabrera).



Propostas de trabalhos futuros

- 1 Introdução
- 2 Definição do sistema proposto
- 3 Projeto da etiqueta (simulações)
- 4 Projeto do leitor de memória ROM (simulações)
- 5 Resultados experimentais
- 6 Conclusões
- 7 Propostas de trabalhos futuros

Propostas de trabalhos futuros

- Topologia de retificador de onda completa com tensões de ativação menores (diodos Schottky).
- Inserção de um circuito limitador de tensão para manter o restante do sistema dentro dos níveis seguros de operação.
- Regulador de tensão para manter uma tensão constante na carga evitando os efeitos da modulação de carga sobre a alimentação.
- Desenvolver um método de seleção das sequências de bits baseado no nível de potência disponível na entrada da etiqueta para eliminar o uso de pads.



Propostas de trabalhos futuros

- Topologia de retificador de onda completa com tensões de ativação menores (diodos Schottky).
- Inserção de um circuito limitador de tensão para manter o restante do sistema dentro dos níveis seguros de operação.
- Regulador de tensão para manter uma tensão constante na carga evitando os efeitos da modulação de carga sobre a alimentação.
- Desenvolver um método de seleção das sequências de bits baseado no nível de potência disponível na entrada da etiqueta para eliminar o uso de pads.

Propostas de trabalhos futuros

- Topologia de retificador de onda completa com tensões de ativação menores (diodos Schottky).
- Inserção de um circuito limitador de tensão para manter o restante do sistema dentro dos níveis seguros de operação.
- Regulador de tensão para manter uma tensão constante na carga evitando os efeitos da modulação de carga sobre a alimentação.
- Desenvolver um método de seleção das sequências de bits baseado no nível de potência disponível na entrada da etiqueta para eliminar o uso de pads.

Propostas de trabalhos futuros

- Topologia de retificador de onda completa com tensões de ativação menores (diodos Schottky).
- Inserção de um circuito limitador de tensão para manter o restante do sistema dentro dos níveis seguros de operação.
- Regulador de tensão para manter uma tensão constante na carga evitando os efeitos da modulação de carga sobre a alimentação.
- Desenvolver um método de seleção das sequências de bits baseado no nível de potência disponível na entrada da etiqueta para eliminar o uso de pads.

Agradecimentos



Muito Obrigado!

Email: j.s.moya@posgrad.ufsc.br

Site: <http://lrf.ufsc.br/>





Perguntas?